

การใช้ถ่านกัมมันต์ในการดูดซึบผิวโลหะหนักจากน้ำจะมุ่งฟอยที่ผ่านน้ำเก็บกัก



นาย อธิชัย นพแก้ว

วิทยานิพนธ์นี้เป็นส่วนหนึ่งของการศึกษาตามหลักสูตรปริญญาวิศวกรรมศาสตรมหาบัณฑิต
ภาควิชาศวกรรมสิ่งแวดล้อม

บัณฑิตวิทยาลัย จุฬาลงกรณ์มหาวิทยาลัย

ปีการศึกษา 2539

ISBN 974-635-884-7

ลิขสิทธิ์ของบัณฑิตวิทยาลัย จุฬาลงกรณ์มหาวิทยาลัย

HEAVY METALS ADSORPTION FROM LEACHATE STORAGE POND EFFLUENT BY
ACTIVATED CARBON

Mr. Atichai Nopakaew

A Thesis Submitted in Partial Fulfillment of the Requirements

for the Degree of Master of Engineering

Department of Environmental Engineering

Graduate School

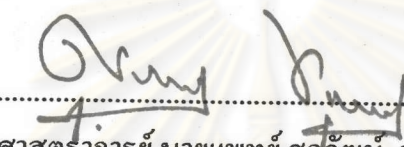
Chulalongkorn University

Academic year 1996

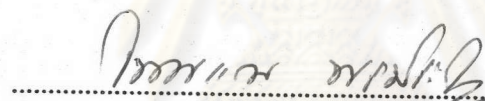
ISBN 974-635-884-7

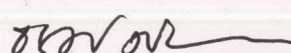
หัวข้อวิทยานิพนธ์ การใช้จ่ามกัมมันต์ในการคุดคิดผิวโลหะหนักจากน้ำระบุลฟอยท์ผ่านบ่อ
 เก็บกัก
 โดย นาย อธิษัย นพแก้ว
 ภาควิชา วิศวกรรมสิ่งแวดล้อม
 อาจารย์ที่ปรึกษา ผู้ช่วยศาสตราจารย์ ดร. ธเรศ ศรีสุทธิ์

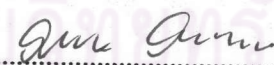
บันทึกวิทยาลัย จุฬาลงกรณ์มหาวิทยาลัย อนุมัติให้นับวิทยานิพนธ์ฉบับนี้เป็นส่วนหนึ่ง
 ของการศึกษาตามหลักสูตรปริญญามหาบัณฑิต

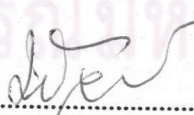

 คณบดีบันทึกวิทยาลัย
 (ศาสตราจารย์ นายแพทย์ ศุภวัฒน์ ชุติวงศ์)

คณะกรรมการสอบวิทยานิพนธ์


 ประธานกรรมการ
 (รองศาสตราจารย์ ไพรพรม พรประภา)


 อาจารย์ที่ปรึกษา
 (ผู้ช่วยศาสตราจารย์ ดร.ธเรศ ศรีสุทธิ์)


 กรรมการ
 (รองศาสตราจารย์ วงศ์พันธ์ ลิมปเสนีย์)


 กรรมการ
 (อาจารย์ นุญงค์ โลหวงศ์วัฒน์)

พิมพ์ดันฉบับทัศน์อวิทยานิพนธ์ภายในกรอบสีเขียวนี้เพียงแผ่นเดียว

อธิชัย นพแก้ว : การใช้ถ่านกัมมันต์ในการดูดติดผิวโลหะหนักจากน้ำระบายน้ำมูลฝอยที่ผ่านบ่อเก็บกัก
(HEAVY METALS ADSORPTION FROM LEACHATE STORAGE POND EFFLUENT BY ACTIVATED CARBON) อาจารย์ที่ปรึกษา : ผศ. ดร. ธารา ศรีสุติ์, 207 หน้า ISBN 974-635-884-7.

การวิจัยนี้เป็นการศึกษาเบื้องต้นถึงความสามารถของถ่านกัมมันต์ในการกำจัดprotoและโครมีย์มอกจากน้ำเสีย การทดลองแบ่งออกเป็น 2 ตอน คือ การทดลองแบบเบตซ์ เพื่อศึกษาถึงปัจจัยที่มีผลกระทบต่อการดูดติดผิวโดยมีปัจจัยที่จะทำการศึกษา คือ พิอช เวลาสัมผัส และความเข้มข้นของโลหะหนัก และเพื่อที่จะหาข้อความสามารถของถ่านกัมมันต์ที่ใช้ในการทดลอง คือ ถ่านกัมมันต์ A, B และ C จะทำการทดสอบ proto ให้กับถ่านกัมมันต์ทั้ง 3 ชนิด ตอนที่สอง จะเป็นการทดลองแบบต่อเนื่องในถังดูดติดผิวแบบแท่ง นำเสียที่ใช้ในการทดลองมี 2 ชนิด คือ น้ำเสียสังเคราะห์ และน้ำระบายน้ำมูลฝอยจากห้องลุ่มฝังกลบอ่อนนุ่มที่ผ่านบ่อเฟคัลเทฟฟ์ วิธีวิเคราะห์ปริมาณโลหะหนักจะใช้วิธีการวัดด้วยเครื่องอะตอมมิกแอนซอร์ฟรั่นสเปกโตรโฟโนมิเตอร์แบบเปลวเพลิง

ผลจากการทดลองแบบเบตซ์พบว่า ที่พิอช 2-4 เป็นช่วงพิอชที่กำจัดโครมีย์มอกและprotoจากน้ำเสียทั้ง 2 ชนิดได้ดีที่สุด คือ ในน้ำเสียสังเคราะห์ การกำจัดโครมีย์มอกค่าประมาณ 72%, 64% และ 39% และproto มีค่าประมาณ 66%, 61% และ 55% สำหรับถ่านกัมมันต์ A, B และ C ตามลำดับ ส่วนในน้ำระบายน้ำมูลฝอย การกำจัดโครมีย์มอกมีค่าประมาณ 86%, 78% และ 62% และproto มีค่าประมาณ 88%, 83% และ 67% สำหรับถ่านกัมมันต์ A, B และ C ตามลำดับ เมื่อความเข้มข้นของprotoและโครมีย์มอกเพิ่มขึ้นความสามารถในการกำจัดprotoและโครมีย์มอกเท่ากับ 5.0 mg/l. ผลของเวลาสัมผัสพบว่า การดูดติดผิวproto และโครมีย์มอกซึ่งเกิดขึ้นอย่างรวดเร็ว (>50%) ภายในเวลาสัมผัสเท่ากับ 5 นาที และเมื่อความเข้มข้นของโลหะหนักเพิ่มขึ้นความสามารถในการกำจัดprotoและโครมีย์มอกและprotoจะลดลง สาเหตุที่เห็นจะมาจากดูดติดผิวprotoและโครมีย์มอกซึ่งมีค่าอยู่ระหว่าง 7-8 เวลาสัมผัส 15 นาที จากการทดลองพบว่า ถ่านกัมมันต์ที่สามารถกำจัดprotoและโครมีย์มอกได้ดีและเสียกน้ำระบายน้ำมูลฝอยอีกด้วย จากการทดสอบ proto ให้กับถ่านกัมมันต์ที่สามารถกำจัดprotoและโครมีย์มอกได้ดีที่สุด ก็คือ พิอชเท่ากับ 4 เวลาสัมผัสเท่ากับ 15 นาที สำหรับน้ำเสียสังเคราะห์ และสำหรับน้ำระบายน้ำมูลฝอย คือ พิอชเดินทางของน้ำระบายน้ำมูลฝอยซึ่งมีค่าอยู่ระหว่าง 7-8 เวลาสัมผัส 15 นาที จากการทดลองพบว่า ถ่านกัมมันต์ที่สามารถกำจัดprotoและโครมีย์มอกได้ดีที่สุด น้ำเสียทั้ง 2 ชนิดได้ดีที่สุด

ในการทดลองแบบต่อเนื่อง พบว่าการกำจัดprotoและหนักในน้ำระบายน้ำมูลฝอยมีประสิทธิภาพดีกว่าการใช้น้ำเสียสังเคราะห์ เมื่อปริมาณน้ำที่ผ่านการบำบัดเท่ากัน โดยมีประสิทธิภาพรวมประมาณ 90% และ 70% สำหรับการกำจัดprotoและหนักจากน้ำระบายน้ำมูลฝอยและน้ำเสียสังเคราะห์ แต่การกำจัดprotoและหนักจากน้ำระบายน้ำมูลฝอยจะมีปัญหาร�่่องการอุดตันของขี้ถ่านกัมมันต์ เนื่องจากปริมาณสารแขวนลอยที่มีอยู่มากในน้ำระบายน้ำ

พิมพ์ดันฉบับทัศน์อวิทยานิพนธ์ภายในกรอบสีเขียวเพียงแผ่นเดียว

C617408 : MAJOR ENVIRONMENTAL ENGINEERING

KEY WORD: ADSORPTION / HEAVY METAL / LEACHATE / ACTIVATED CARBON

ATICHAI NOPAKAEW : HEAVY METALS ADSORPTION FROM LEACHATE
STORAGE POND EFFLUENT BY ACTIVATED CARBON.

THESIS ADVISOR : ASSIST.PROF.THARES SRISATIT, Ph.D. 207pp.
ISBN 974-635-884-7.

This research is an elementary study which was conducted to investigate the feasibility of removing mercury and chromium from wastewater by activated carbon. This experiment separates into two phases. The first phase dealt with batch studies to investigate the factors which have an effect on heavy metal adsorption. The factors in this study are pH, contact time and heavy metal concentration. In order to find ability of activated carbons, carbon A, B and C, which are used in this study, isotherm test was conducted. The second phase involved continuous adsorption column studies. In this research, synthetic aqueous chromium and mercury solutions and On-Nooch landfill leachate after passed facultative pond are used. The flame atomic absorption spectrophotometer was used for heavy metals content analyses.

From batch studies, maximum chromium and mercury removal may be achieved in pH range 2-4 for both types of wastewater. In synthetic aqueous, the approximate removal of chromium are 72%, 64% and 39%, and for mercury are 66%, 61% and 55% in consecutive order for carbon A, B and C. In leachate, the removal efficiency for chromium are 86%, 78% and 62%, and for mercury are 88%, 83% and 76% for carbon A, B and C when heavy metal concentration equal 5 mg/l. A significant amount (>50%) of chromium and mercury was adsorbed within 5 minutes of contact time for both aqueous and reduction of removal efficiency occurred when increase heavy metal concentration. The optimum conditions for adsorption chromium and mercury from synthetic solution are pH 4 and 15 minutes contact time, whereas in leachate the optimum conditions are initial pH of leachate (pH 7-8) and 15 minutes contact time. From batch study found that, activated carbon not only remove heavy metal in leachate but it remove COD and color also. From Freundlich adsorption isotherm, carbon A has the best result in removal of chromium and mercury from both aqueous.

From continuous studies, chromium and mercury removal from leachate has more efficiency than from synthetic aqueous in equal volume of treated effluent. The approximate overall efficiency for heavy metals removal from leachate are 90% and 70% for synthetic aqueous. However, clogging on the surface of activated carbon bed in heavy metal removal from leachate was a major problem because of high suspended solids in leachate.

ภาควิชา..... วิศวกรรมสิ่งแวดล้อม ลายมือชื่อนิสิต..... ๑๖๙๘ ๔๗๙๒
สาขาวิชา..... วิศวกรรมสิ่งแวดล้อม ลายมือชื่ออาจารย์ที่ปรึกษา..... *ดร.วิภาดา*
ปีการศึกษา..... ๒๕๓๙ ลายมือชื่ออาจารย์ที่ปรึกษาร่วม.....

กิตติกรรมประกาศ

ผู้วิจัยขอบพระคุณ พศ.ดร.ธารศ ศรีสุติย์ อาจารย์ที่ปรึกษาวิทยานิพนธ์ ที่ได้ให้คำแนะนำ
นำเสนอคิดเห็นต่าง ๆ ในการทำวิจัยตลอดมา จนกระทั่งวิทยานิพนธ์ฉบับนี้สำเร็จลุล่วงได้ด้วยดี

ขอบพระคุณคณะกรรมการสอบวิทยานิพนธ์ คือ รศ.ไพบูลย์ พรประภา รศ.วงศ์พันธ์
ลินปเสนีย์ และ อ.บุญยงค์ โลหะวงศ์วัฒน์ และคณาจารย์ภาควิชาวิศวกรรมสิ่งแวดล้อม ที่ได้ให้คำ
ปรึกษาและความรู้ต่าง ๆ แก่ผู้วิจัยมาโดยตลอดการศึกษา

ขอบคุณเจ้าหน้าที่ภาควิชาวิศวกรรมสิ่งแวดล้อมทุกท่าน ที่ได้ช่วยเหลือในเรื่องการ
ติดต่อ ประสานงาน

ขอบคุณกองวิชาการและกองโรงงานสำนักทะเบียน สำนักงานคุณภาพ
สะอาด กรุงเทพมหานคร ที่ให้ความช่วยเหลือเรื่องข้อมูลและอำนวยความสะดวกในการเก็บน้ำซับ
มูลฝอย

ขอบคุณเพื่อน พี่ และน้อง ๆ ที่ได้ให้คำแนะนำและความช่วยเหลือเรื่องข้อมูลต่าง ๆ ที่
เป็นประโยชน์ต่องานวิจัย

เนื่องจากทุนการวิจัยครั้งนี้บางส่วนได้รับจากทุนอุดหนุนการวิจัยของบัณฑิตวิทยาลัย จึง
ขอบคุณบัณฑิตวิทยาลัยมา ณ ที่นี่ด้วย

ท้ายนี้ ผู้วิจัยขอกราบขอบพระคุณ บิดา-มารดา ครู-อาจารย์ และญาติพี่น้อง ที่ได้ให้การ
อบรมสั่งสอน และให้กำลังใจแก่ผู้วิจัยเสมอมาสำหรับการศึกษา

อธิษัย นพแก้ว

**ศูนย์วิทยทรัพยากร
จุฬาลงกรณ์มหาวิทยาลัย**

สารบัญ

	หน้า
บทคัดย่อภาษาไทย	๑
บทคัดย่อภาษาอังกฤษ	๒
กิตติกรรมประกาศ	๓
สารบัญ	๔
สารบัญตาราง	๕
สารบัญรูป	๖
บทที่	
1. บทนำ	1
1.1 ทั่วไป	1
1.2 วัตถุประสงค์	3
1.3 ขอบเขตการวิจัย	3
2. บทท่านเอกสาร	4
2.1 การคุณติดผิว	4
2.2 กลไกการคุณติดผิวและอัตราการเคลื่อนย้ายโมเลกุล	5
2.3 กำนัมมันต์	7
2.4 สมดุลการคุณติดผิว	19
2.5 ปัจจัยที่มีผลต่อการคุณติดผิว	24
2.6 ถังคุณติดผิวแบบแห้ง	31
2.7 น้ำอะมูลฟอย	33
2.8 โลหะหนัก	55
2.9 การศึกษาที่ผ่านมา	62
3. แผนงานและการดำเนินงานวิจัย	86
3.1 สถานที่ทำการวิจัย	86
3.2 การเตรียมสารคุณติดผิวและน้ำสีที่ใช้ในการทดลอง	86
3.3 แผนการทดลอง	88

สารบัญ (ต่อ)

	หน้า
3.4 เครื่องมือและอุปกรณ์ที่ใช้ในการทดลอง	95
3.5 การเก็บตัวอย่างน้ำและการวิเคราะห์	98
4. ผลการทดลองและการวิจารณ์ผลการทดลอง	100
4.1 ผลการทดลองแบบแบบทช.	101
4.2 ผลการทดลองแบบต่อเนื่อง	145
4.3 ต้นทุนการกำจัดโครเมียมและprotoxoidสังเขป	154
5. สรุปผลการทดลองและข้อเสนอแนะ	155
5.1 สรุปผลการทดลอง	155
5.2 ข้อเสนอแนะ	157
5.3 ข้อเสนอแนะสำหรับการศึกษาต่อไป	160
รายการอ้างอิง	161
ภาคผนวก ก	168
ภาคผนวก ข	187
ภาคผนวก ค	197
ประวัติผู้เขียน	207

**ศูนย์วิทยทรัพยากร
จุฬาลงกรณ์มหาวิทยาลัย**

สารบัญตาราง

	หน้า
ตารางที่ 2.1 วัสดุที่ใช้ในการผลิตถ่านกัมมันต์	9
ตารางที่ 2.2 ความสามารถของการดูดซึมพิวของถ่านที่ทำจากดินสน (Pine Wood Char) โดยการกระตุนด้วยก๊าซที่อุณหภูมิต่างกัน	11
ตารางที่ 2.3 คุณสมบัติของการรับอนที่มาจากการวัสดุและกระบวนการกระตุนที่ต่างกัน	12
ตารางที่ 2.4 คุณสมบัติของถ่านกัมมันต์ที่ใช้ในการพิจารณาสำหรับใช้ในกระบวนการต่างๆ	13
ตารางที่ 2.5 พื้นที่พิวของถ่านกัมมันต์	15
ตารางที่ 2.6 แสดงความเป็นกรดของพื้นพิว หมู่ฟังก์ชันอล และพื้นที่พิวของถ่านกัมมันต์บางชนิด	19
ตารางที่ 2.7 ผลของอุณหภูมิที่มีต่อการดูดซึมพิวของสีข้อม้า	28
ตารางที่ 2.8 ผลของความปั่นป่วนที่มีต่อการทำจัลแคนดเมียมและตะกั่ว	30
ตารางที่ 2.9 องค์ประกอบของกากภาพของน้ำมูลฝอยจากแหล่งที่พักอาศัยในประเทศไทย	35
ตารางที่ 2.10 องค์ประกอบของน้ำมูลฝอยในกรุงเทพมหานครระหว่างปี 2529-2537	36
ตารางที่ 2.11 ลักษณะน้ำมูลฝอยจากหลุมฝังกลบเก่าและใหม่	39
ตารางที่ 2.12 ลักษณะน้ำมูลฝอยจากประเทศไทยต่าง ๆ	40
ตารางที่ 2.13 ปริมาณความเข้มข้นของโลหะหนักในน้ำมูลฝอยจากประเทศไทยต่างๆ	41
ตารางที่ 2.14 การนำบัคน้ำมูลฝอยด้วยวิธีทางชีววิทยา	43
ตารางที่ 2.15 การนำบัคน้ำมูลฝอยด้วยวิธีทางกายภาพเคมี	44
ตารางที่ 2.16 ความสัมพันธ์ของอัตราส่วน COD/TOC, BOD/COD, COD และ อายุของหลุมฝังกลบกับความสามารถในการกำจัดสารอินทรีย์ในน้ำมูลฝอย	47
ตารางที่ 2.17 ลักษณะน้ำมูลฝอยจากหลุมฝังกลบอ่อนนุช หลังผ่านน้ำมักไรี อาภา	49

สารบัญตาราง (ต่อ)

		หน้า
ตารางที่ 2.18	ลักษณะน้ำอะมูลฟอยจากหลุมฝังกลบอ่อนนุช เก็บจากบ่อบีชุดเท กอง	50
ตารางที่ 2.19	ลักษณะน้ำอะมูลฟอยจากหลุมฝังกลบอ่อนนุช	51
ตารางที่ 2.20	ค่าเฉลี่ยของลักษณะน้ำอะมูลฟอยอ่อนนุช	52
ตารางที่ 2.21	มาตรฐานน้ำทึบของกระทรวงอุตสาหกรรม	54
ตารางที่ 2.22	ความเข้มข้นของโลหะหนักที่ยอมให้มีได้ในน้ำดื่มน้ำใช้โดย EPA	56
ตารางที่ 2.23	แสดงปริมาณของโลหะหนักบางชนิดที่มีผลต่อมนุษย์และสัตว์	57
ตารางที่ 2.24	การใช้โลหะหนักบางชนิดในกิจกรรมต่าง ๆ	61
ตารางที่ 2.25	การคุณติดผิวของโลหะหนักจากน้ำเสียด้วยถ่านกัมมันต์	62
ตารางที่ 2.26	เปรียบเทียบค่าใช้จ่ายของวิธีต่างๆ ในการกำจัดโครงเมี้ยม	64
ตารางที่ 2.27	ผลการทดลองแบบแบบทช์	67
ตารางที่ 2.28	ผลการทดลองโดยถังคุณติดผิวแบบแบ่ง	67
ตารางที่ 2.29	เปรียบเทียบความสามารถในการคุณติดผิวเมื่อเติมสารคีเลตต่างๆ	69
ตารางที่ 2.30	ลักษณะของน้ำอะมูลฟอยของหลุมฝังกลบ	72
ตารางที่ 2.31	สรุปความสามารถของระบบถังคุณติดผิวแบบแบ่ง	71
ตารางที่ 2.32	สัดส่วนของสารอินทรีย์ในน้ำอะมูลฟอย	74
ตารางที่ 2.33	แนวทางในการเลือกวิธีบำบัดน้ำอะมูลฟอย	75
ตารางที่ 2.34	สารโคอกูแลนซ์และสภาวะที่ใช้ในการทดลอง	76
ตารางที่ 2.35	ผลของการกำจัดโลหะหนักจากการวางแผนการทางกายภาพเคมี	77
ตารางที่ 2.36	เวลาสัมผัสกับการคุณติดผิวโลหะหนัก	78
ตารางที่ 2.37	ความสามารถในการคุณติดผิวโลหะต่างๆ	81
ตารางที่ 2.38	แสดงลักษณะ โรงงานที่สามารถใช้ถ่านกัมมันต์ในการบำบัดน้ำเสีย	83
ตารางที่ 3.1	ลักษณะทางกายภาพของถ่านกัมมันต์ที่ใช้ทดลอง	87
ตารางที่ 3.2	ลักษณะของน้ำอะมูลฟอยที่ใช้ในการทดลอง (เก็บหลังจากผ่านบ่อบีชุดเทที่ฟ เดือนตุลาคม 2539)	88
ตารางที่ 3.3	การทดสอบแบบแบบท่อเนื่องด้วยถังคุณติดผิวแบบแบ่ง	95

สารบัญตาราง (ต่อ)

	หน้า
ตารางที่ 3.4 พารามิเตอร์ ตำแหน่ง และความถี่ในการเก็บน้ำตัวอย่างเพื่อวิเคราะห์	98
ตารางที่ 3.5 วิธีที่ใช้วิเคราะห์พารามิเตอร์ต่างๆ	99
ตารางที่ 4.1 ลักษณะของน้ำชุมชนฟอยท์ที่ใช้ในการทดลอง (เก็บหลังจากผ่านน้ำอフェคัลเทฟี เดือนตุลาคม 2539)	101
ตารางที่ 4.2 คุณสมบัติทางกายภาพของถ่านกัมมันต์ที่ใช้ในการทดลอง.....	111
ตารางที่ 4.3 ความสามารถของถ่านกัมมันต์ชนิดต่างๆในการกำจัดprototh และโครเมียมที่พีเอช2-4 และความเข้มข้นprototh และโครเมียมเริ่มต้นต่างกัน	111
ตารางที่ 4.4 ผลของพีเอชที่มีต่อการคุณคิดผิวprototh โครเมียม และซีโอดีจากน้ำชุมชนฟอยท์ของถ่านกัมมันต์ชนิดต่างๆ (ความเข้มข้นของprototh และโครเมียม 5 มก./ล.)	118
ตารางที่ 4.5 เปอร์เซ็นต์การกำจัดprototh จากระดับเดิมสัมผัสต่างกัน	127
ตารางที่ 4.6 เปอร์เซ็นต์การกำจัดซีโอดีและprototh จากระดับเดิมสัมผัสต่างกัน.....	128
ตารางที่ 4.7 ค่าคงที่การคุณคิดผิวแบบฟรุนคลิชและความจุของการคุณคิดผิวprototh และโครเมียมจากการทดสอบ ไอโซเทอมแบบฟรุนคลิช	135
ตารางที่ 4.8 ปริมาณน้ำเสียสังเคราะห์ที่สามารถกำจัดprototh และโครเมียมต่อกรัมของการรับอนุชนิดต่างๆที่ใช้	136
ตารางที่ 4.9 ค่าคงที่การคุณคิดผิวแบบฟรุนคลิช และความจุของการคุณคิดผิวซีโอดี prototh และโครเมียมจากน้ำชุมชนฟอยท์ของถ่านกัมมันต์ชนิดต่างๆ	143
ตารางที่ 4.10 ปริมาณน้ำชุมชนฟอยท์สามารถกำจัดซีโอดี prototh และโครเมียมต่อกรัมของการรับอนุชนิดต่างๆที่ใช้.....	144

สารบัญตาราง (ต่อ)

	หน้า
ตารางที่ 4.11 การทดสอบแบบต่อเนื่องคุณลักษณะพิเศษแบบแท่ง	146
ตารางที่ 4.12 ผลการทดลองการกำจัดโครเมียมและprotoxinในถังคุณลักษณะพิเศษแบบ แท่ง	152



สารบัญ

	หน้า
รูปที่ 2.1 การกระจายโมเลกุลระหว่างของเหลวและพื้นผิวของแข็ง	5
รูปที่ 2.2 ขั้นตอนการเคลื่อนย้ายโมเลกุลของการคุณติดพิวคัวยถ่านกัมมันต์ ..	7
รูปที่ 2.3 โครงสร้างของกราไฟท์	8
รูปที่ 2.4 โครงสร้างของถ่านกัมมันต์	8
รูปที่ 2.5 รูปแสดงลักษณะของรูพรุนในถ่านกัมมันต์	16
รูปที่ 2.6 ความสัมพันธ์ของพื้นที่ผิวและขนาดของรูพรุน	17
รูปที่ 2.7 กลุ่มฟังก์ชันบนลับนพื้นผิวถ่านกัมมันต์	18
รูปที่ 2.8 ไอโซเทอมการคุณติดพิวแบบพื้นฐาน	20
รูปที่ 2.9 ไอโซเทอมการคุณติดพิวของสารประกอบฟีโนลิก (Phenolic Compounds)บนถ่านกัมมันต์จากของเหลว	20
รูปที่ 2.10 กราฟแสดงไอโซเทอมการคุณติดพิวแบบต่างๆ	24
รูปที่ 2.11 แสดงผลของการดูดของถ่านกัมมันต์ที่มีต่ออัตราการคุณติดพิว	25
รูปที่ 2.12 ผลของน้ำหนักของโมเลกุลที่มีต่ออัตราการคุณติดพิว	26
รูปที่ 2.13 ผลของน้ำหนักของโมเลกุลที่มีต่อความจุการคุณติดพิว	26
รูปที่ 2.14 ผลของพีเอชที่มีต่อการคุณติดพิวคัวยถ่านกัมมันต์ในถังคุณติดพิวแบบแท่ง	27
รูปที่ 2.15 ผลของพีเอชที่มีต่อการกำจัดไฮโดรเจนออกไซด์โดยการคุณติดพิวคัวยถ่านกัมมันต์	28
รูปที่ 2.16 ผลของอุณหภูมิในการลดปริมาณไฮโดรเจนออกไซด์โดยการคุณติดพิว	29
รูปที่ 2.17 เขตการถ่ายเทมวลในถังคุณติดพิวแบบแท่ง	31
รูปที่ 2.18 เขตการถ่ายเทมวลของอัตราการไหลที่ต่างกัน	32
รูปที่ 2.19 แสดงเส้นโค้งเบรคทรูจ์ในถังคุณติดพิวแบบแท่ง	33
รูปที่ 2.20 แท่งที่มากองน้ำบริเวณหกุมฝังกลบมูลฝอย	34
รูปที่ 2.21 กระบวนการย่อยสลายที่เกิดขึ้นในหกุมฝังกลบ	37
รูปที่ 2.22 แสดงการย่อยสลายของสารอินทรีย์ภายในหกุมฝังกลบ	38

สารบัญรูป (ต่อ)

	หน้า	
รูปที่ 2.23	แสดงความสัมพันธ์ของอัตราส่วนของ BOD/COD, COD/TOC, VS/FS, pH, ORP และ SO ₄ /Cl ในน้ำซะมูลฟอยกับอายุของ หลุมฝังกลบ	42
รูปที่ 2.24	กระบวนการบำบัดน้ำเสียของโรงกำจัดมูลฟอยอ่อนนุช	48
รูปที่ 2.25	สถานที่ตั้งของโรงงานกำจัดมูลฟอยอ่อนนุช และจุดเก็บตัวอย่าง ...	53
รูปที่ 2.26	แสดงความสัมพันธ์ของสารประกอบอนทรีย์และสารประกอบ อนินทรีย์ของproto	58
รูปที่ 2.27	การเปลี่ยนแปลงรูปแบบของproto	60
รูปที่ 2.28	การคุณคิดผิวของฟีโนอลกับปริมาณเต้าในถ่านกัมมันต์	65
รูปที่ 2.29	การคุณคิดผิวของฟลวิคกับปริมาณเต้าในถ่านกัมมันต์	66
รูปที่ 2.30	การคุณคิดผิวของอะร์เซนิก (V) กับปริมาณเต้าในถ่านกัมมันต์	66
รูปที่ 2.31	การคุณคิดผิวของเมคคามียมบนถ่านกัมมันต์ที่ความเข้มข้นเริ่มต้น ต่างๆ	58
รูปที่ 2.32	ปริมาณการคุณคิดของโครเมียมกับพีเอช	70
รูปที่ 2.33	ผลของพีเอชและความเข้มข้นของโครเมียมที่มีต่อการคุณคิดผิว	70
รูปที่ 2.34	กระบวนการทางเคมีภาพเคมี	76
รูปที่ 2.35	ไอโซเทอมแบบฟรุนเคลชของ Phenol, p-chlorophenol, Mercuric ions และ Sodium dodecyl sulphate	77
รูปที่ 2.36	ความสัมพันธ์ระหว่างประสิทธิภาพกับเวลาสัมผัส	79
รูปที่ 2.37	ความสัมพันธ์ระหว่างอัตราการใช้คาร์บอนกับเวลาสัมผัส	80
รูปที่ 2.38	ผลของพีเอชที่มีต่อการกำจัดโคลีโอลดี	80
รูปที่ 2.39	การกำจัดปริมาณชีวภาพของ 1,2,3 Trichlorobenzene	83
รูปที่ 2.40	การกำจัดปริมาณชีวภาพของ 1,2,4 Trichlorobenzene	83
รูปที่ 2.41	การกำจัดปริมาณชีวภาพของ C-46	84
รูปที่ 2.42	การกำจัดปริมาณชีวภาพของ 1,2,4,5 Tetrachlorobenzene	84
รูปที่ 2.43	การกำจัดปริมาณชีวภาพของ C-56	84

สารบัญรูป (ต่อ)

	หน้า
รูปที่ 2.44 การกำจัดปริมาณชีอคของ 1,2,3,4 Tetrachlorobenzene	85
รูปที่ 3.1 แผนภาพการศึกษาผลกระบวนการพีเอชและการหาพีเอชที่เหมาะสม	92
รูปที่ 3.2 แผนภาพการศึกษาผลของเวลาสัมผัสและการหาเวลาสัมผัสที่เหมาะสม	93
รูปที่ 3.3 แผนภาพการทดสอบไออกไซเจนและการคุณติดผิวแบบฟรุนคลิช	94
รูปที่ 3.4 ถังคุณติดผิวแบบแท่งที่ใช้ในการทดลอง	97
รูปที่ 4.1 ผลของพีเอชที่มีต่อการคุณติดผิวโครเมียมจากน้ำเสียสังเคราะห์ของถ่านกัมมันต์ชนิดต่างๆที่ความเข้มข้นโครเมียมเริ่มต้นต่างกัน	102
รูปที่ 4.2 ผลของพีเอชที่มีต่อการคุณติดผิวprotoxจากน้ำเสียสังเคราะห์ของถ่านกัมมันต์ชนิดต่างๆที่ความเข้มข้นprotoxเริ่มต้นต่างกัน	103
รูปที่ 4.3 เปรียบเทียบพีเอชของน้ำเสียสังเคราะห์ก่อนและหลังการเติมถ่านกัมมันต์ชนิดต่างๆ	106
รูปที่ 4.4 เปรียบเทียบผลของพีเอชที่มีต่อการคุณติดผิวโครเมียมจากน้ำเสียสังเคราะห์ของถ่านกัมมันต์ชนิดต่างๆ ที่ความเข้มข้นโครเมียมเริ่มต้นต่างกัน	109
รูปที่ 4.5 เปรียบเทียบผลของพีเอชที่มีต่อการคุณติดผิวprotoxจากน้ำเสียสังเคราะห์ของถ่านกัมมันต์ชนิดต่างๆที่ความเข้มข้นprotoxเริ่มต้นต่างกัน	110
รูปที่ 4.6 ผลของพีเอชที่มีต่อการคุณติดผิวชีโอดี โครเมียม และprotoxจากน้ำอะมูลฝอยของถ่านกัมมันต์ชนิดต่างๆ	113
รูปที่ 4.7 เปรียบเทียบผลของพีเอชที่มีต่อการกำจัดโครเมียมจากน้ำเสียสังเคราะห์และน้ำอะมูลฝอยของถ่านกัมมันต์ทั้ง 3 ชนิด (ความเข้มข้นของprotoxและโครเมียมเท่ากับ 5 มก./ล.)	114

สารบัญรูป (ต่อ)

	หน้า	
รูปที่ 4.8	เปรียบเทียบผลของพีเอชที่มีต่อการกำจัดprotothakan้ำเสียสังเคราะห์และน้ำระบุลฟอยของถ่านกัมมันต์ทั้ง 3 ชนิด (ความเข้มข้นของprotothak และ โครเมียมเท่ากับ 5 มก./ล.)	115
รูปที่ 4.9	พีเอชของน้ำระบุลฟอยก่อนและหลังการเติมถ่านกัมมันต์ชนิดต่างๆ	117
รูปที่ 4.10	ผลของความเข้มข้นของ โครเมียมเริ่มต้นที่มีต่อการคุณติดผิว โครเมียมของถ่านกัมมันต์ ชนิดต่างๆ	120
รูปที่ 4.11	ผลของความเข้มข้นของprotothak เริ่มต้นที่มีต่อการคุณติดผิวprotothak ของถ่านกัมมันต์ชนิดต่างๆ	121
รูปที่ 4.12	ความหนาแน่นของการคุณติดผิว โครเมียมของถ่านกัมมันต์ชนิดต่างๆที่ความเข้มข้น โครเมียมเริ่มต้นต่างๆ	123
รูปที่ 4.13	ความหนาแน่นของการคุณติดผิวprotothak ของถ่านกัมมันต์ชนิดต่างๆ ที่ความเข้มข้นprotothak เริ่มต้นต่างๆ	124
รูปที่ 4.14	ผลของเวลาสัมผัสที่มีต่อการคุณติดผิว โครเมียมและprotothakan้ำเสียสังเคราะห์ของถ่านกัมมันต์ชนิดต่างๆ	126
รูปที่ 4.15	ผลของเวลาสัมผัสที่มีต่อการคุณติดผิวprotothak โครเมียม และ ซีโอดีจากน้ำระบุลฟอยของถ่านกัมมันต์ชนิดต่างๆ	129
รูปที่ 4.16	เปรียบเทียบผลของเวลาสัมผัสที่มีต่อการคุณติดผิว โครเมียม และ protothakan้ำเสียสังเคราะห์และน้ำระบุลฟอยของถ่านกัมมันต์ชนิดต่างๆ	130
รูปที่ 4.17	ไอโซเทอมการคุณติดผิวแบบฟรุนเดลิชของถ่านกัมมันต์ชนิดต่างๆ ในการคุณติดผิว โครเมียมจากน้ำเสียสังเคราะห์	132
รูปที่ 4.18	ไอโซเทอมการคุณติดผิวแบบฟรุนเดลิชของถ่านกัมมันต์ชนิดต่างๆ ในการคุณติดผิวprotothak จากน้ำเสียสังเคราะห์	133
รูปที่ 4.19	เปรียบเทียบไอโซเทอมแบบฟรุนเดลิชของถ่านกัมมันต์ชนิดต่างๆ ในการคุณติดผิว โครเมียมจากน้ำเสียสังเคราะห์	134

สารบัญ (ต่อ)

	หน้า
รูปที่ 4.20	เปรียบเทียบ ไอโซเทอมแบบฟรุนคลิชของถ่านกัมมันต์ชนิดต่างๆ ในการคุณติดผิวprotoทางานน้ำเสียสังเคราะห์ 135
รูปที่ 4.21	ไอโซเทอมการคุณติดผิวแบบฟรุนคลิชในการคุณติดผิวซีไอดีจาก น้ำอะมูลฟอยของถ่าน กัมมันต์ชนิดต่างๆ 138
รูปที่ 4.22	ไอโซเทอมการคุณติดผิวแบบฟรุนคลิชในการคุณติดผิวโครเมียม จากน้ำอะมูลฟอยของถ่านกัมมันต์ชนิดต่างๆ 139
รูปที่ 4.23	ไอโซเทอมการคุณติดผิวแบบฟรุนคลิชในการคุณติดผิวprotoทางาน น้ำอะมูลฟอยของถ่านกัมมันต์ชนิดต่างๆ 140
รูปที่ 4.24	เปรียบเทียบ ไอโซเทอมแบบฟรุนคลิชของถ่านกัมมันต์ชนิดต่างๆ ในการคุณติดผิวซีไอดีจากน้ำอะมูลฟอย 142
รูปที่ 4.25	เปรียบเทียบ ไอโซเทอมแบบฟรุนคลิชของถ่านกัมมันต์ชนิดต่างๆ ในการคุณติดผิว โครเมียมจากน้ำอะมูลฟอย 142
รูปที่ 4.26	เปรียบเทียบ ไอโซเทอมแบบฟรุนคลิชของถ่านกัมมันต์ชนิดต่างๆ ในการคุณติดผิวprotoทางานน้ำอะมูลฟอย 143
รูปที่ 4.27	ผลการทดลองของถังคุณติดผิวแบบแท่งในการกำจัด โครเมียมและ protoของน้ำเสียสังเคราะห์ที่มีความเข้มข้นprotoและโครเมียม เท่ากับ 1.0 มก./ล. 147
รูปที่ 4.28	ผลการทดลองของถังคุณติดผิวแบบแท่งในการกำจัด โครเมียมและ protoของน้ำเสียสังเคราะห์ที่มีความเข้มข้นprotoและโครเมียม เท่ากับ 5.0 มก./ล. 148
รูปที่ 4.29	ผลการทดลองของถังคุณติดผิวแบบแท่งในการกำจัด โครเมียมและ protoของน้ำอะมูลฟอยที่มีความเข้มข้น โครเมียมและprotoเริ่มต้น 5.0 มก./ล. และซีไอดีเริ่มต้นเท่ากับ 500 มก./ล. 149